



i-VisionGroup@Tsinghua

# 文献阅读

谭子萌

# CT Reconstruction

## □ 由X光重建CT

1. 单张X光重建CT
2. 两张正交的X光重建CT

## □ 由低剂量的CT重建正常剂量的CT

1. Low-Dose CT with a Residual Encoder-Decoder Convolutional Neural Network (RED-CNN)
2. A Sparse-View CT Reconstruction Method Based on Combination of DenseNet and Deconvolution

# 由X光重建CT

## □ Motivation:

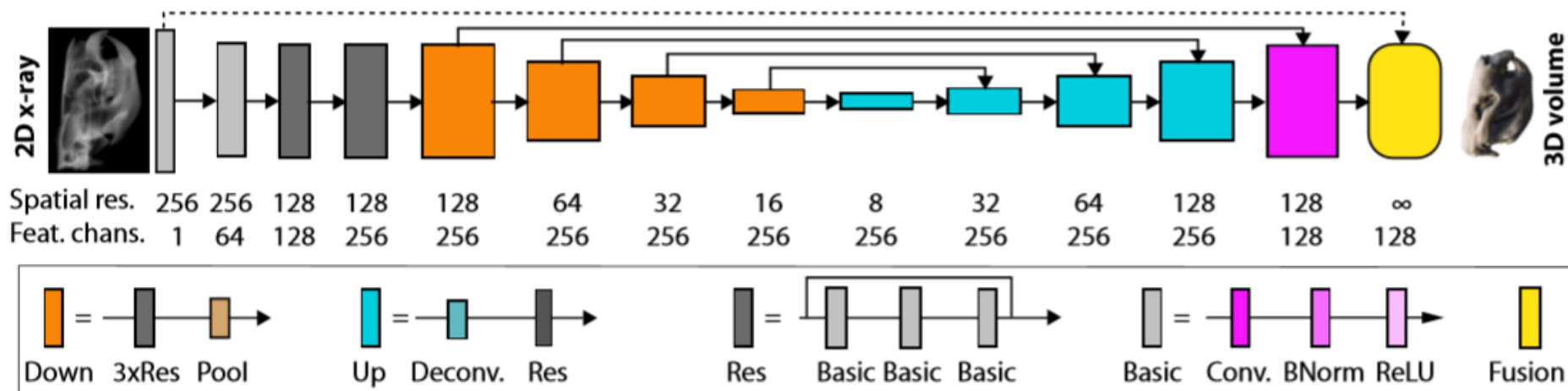
1. 传统的CT成像需要上百张X光片经过滤波迭代得到，存在很高的辐射剂量，会对人体进行损伤。
2. X光片存在软组织相互覆盖的问题，在临床中诊断价值低。

## □ Challenge:

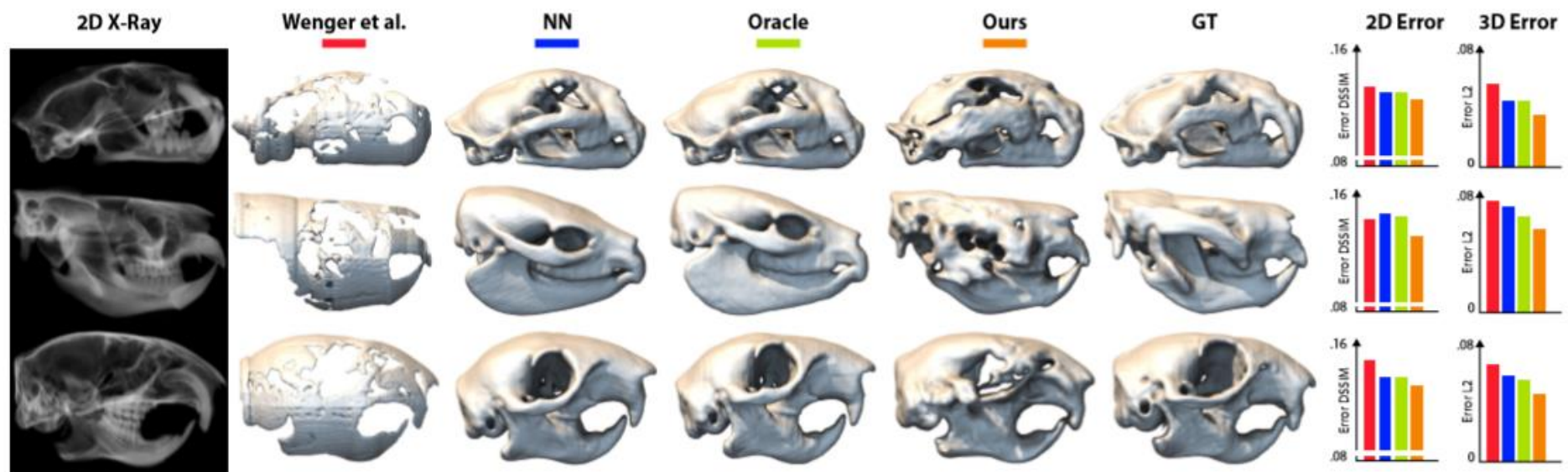
从X光片重建CT是增加维度的过程。由于X光片是2D的，对人体内部信息存在模糊性。

# Single-image Tomography: 3D Volumes from 2D Cranial X-Rays

1. encoder-decoder residual 跳接结构
2. 把特征通道直接当作第三个维度



# Single-image Tomography: 3D Volumes from 2D Cranial X-Rays



# X2CT-GAN: Reconstructing CT from Biplanar X-Rays with Generative Adversarial Networks

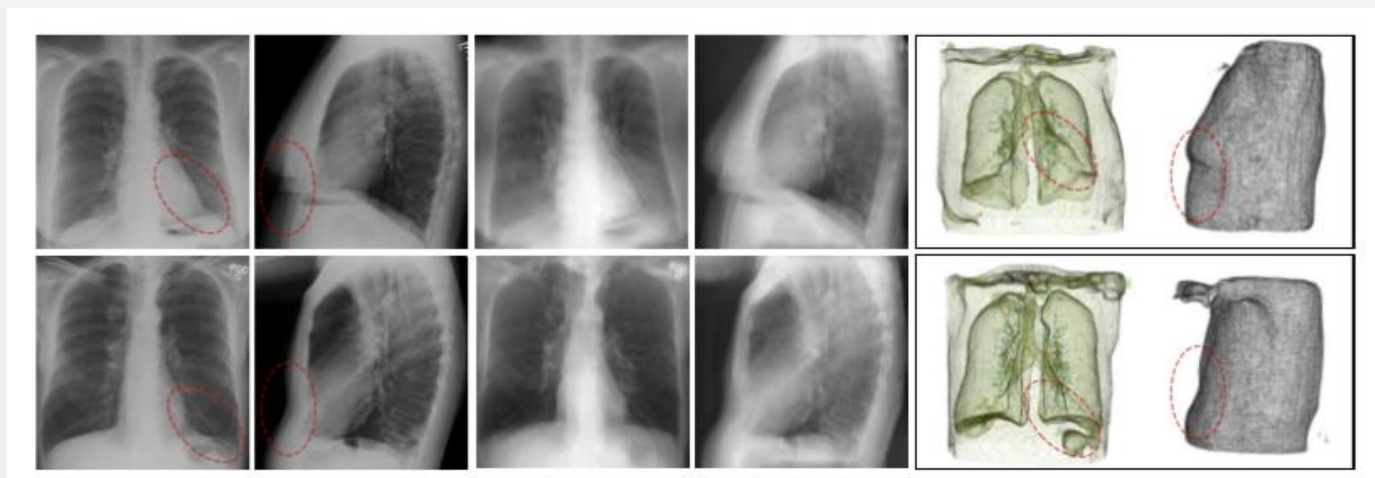
Xingde Ying<sup>\*,†,b</sup>, Heng Guo<sup>\*,§,b</sup>, Kai Ma<sup>b</sup>, Jian Wu<sup>†</sup>, Zhengxin Weng<sup>§</sup>, and Yefeng Zheng<sup>b</sup>

## Data

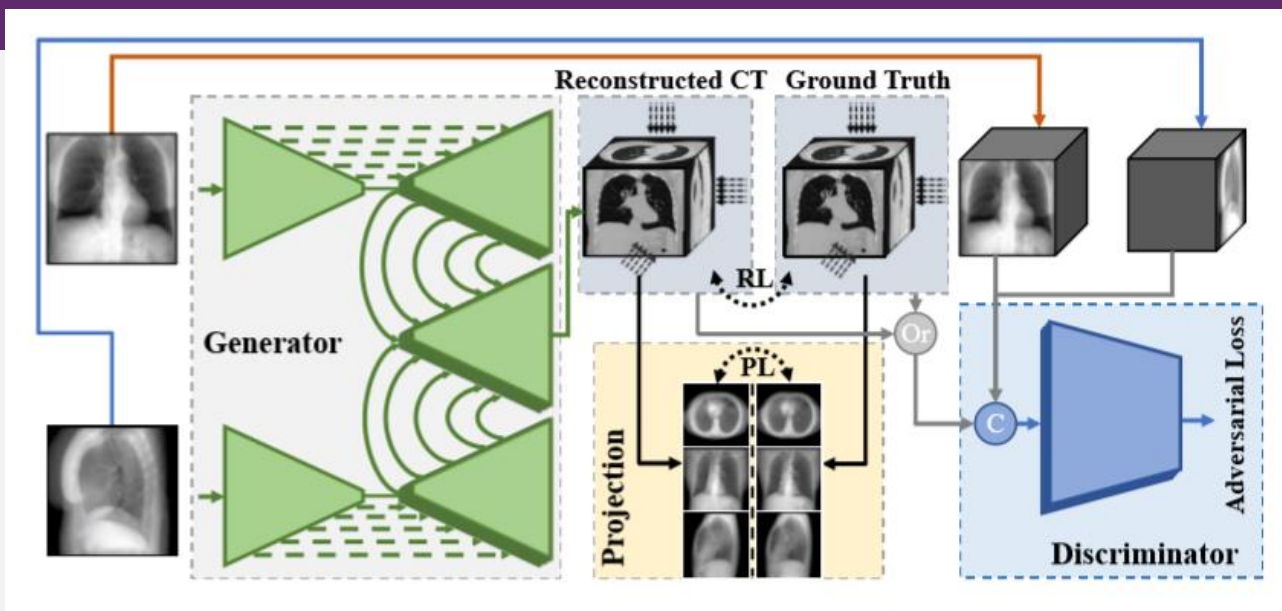
### 1. 公开的肺部CT数据库LIDC-IDRI

CT对应的X光片由DRR技术生成，并使用CycleGAN使其更逼真。

### 2. 使用两张正交的X光图像：正视图和侧视图，应用双视角信息。



# Loss Functions



Adversarial Loss (LSGAN) :

$$\mathcal{L}_{LSGAN}(D) = \frac{1}{2} [\mathbb{E}_{y \sim p(CT)} (D(y|x) - 1)^2 + \mathbb{E}_{x \sim p(Xray)} (D(G(x)|x) - 0)^2],$$

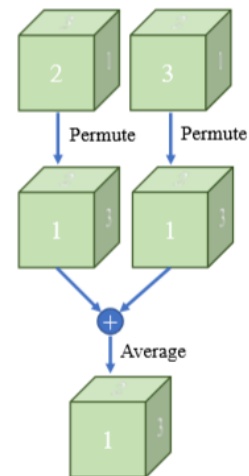
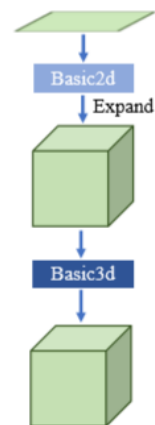
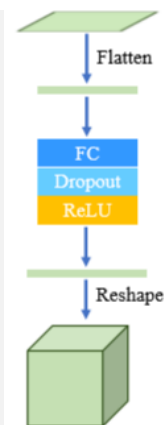
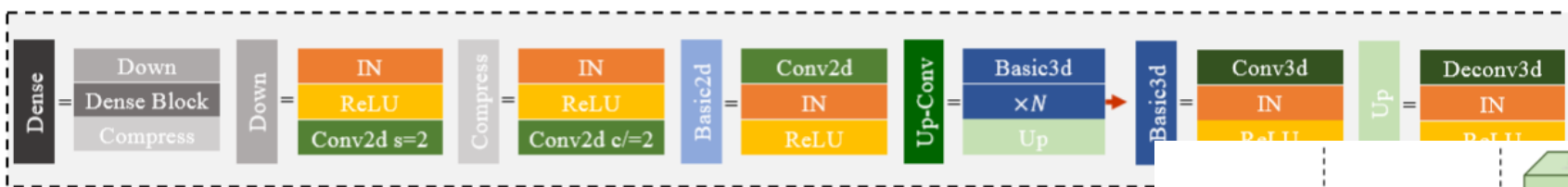
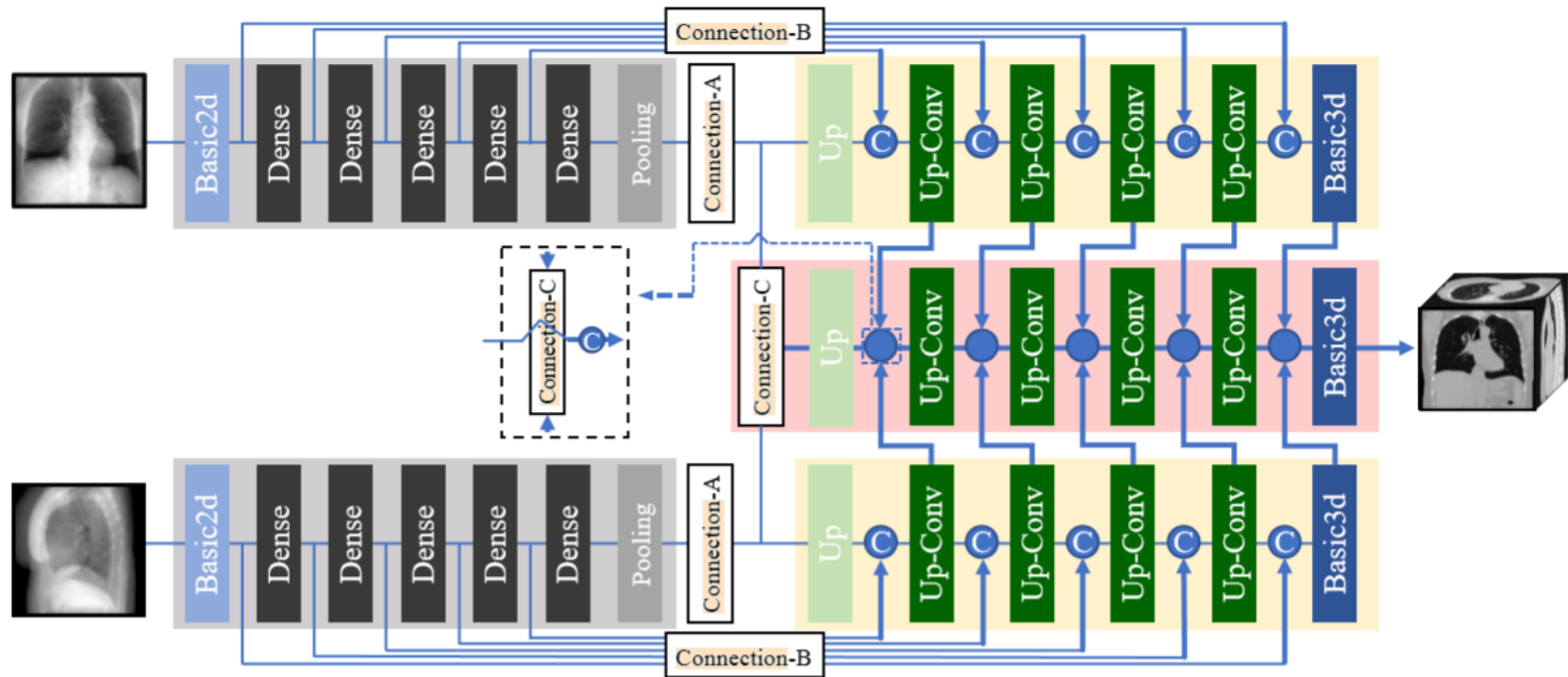
$$\mathcal{L}_{LSGAN}(G) = \frac{1}{2} [\mathbb{E}_{x \sim p(Xray)} (D(G(x)|x) - 1)^2],$$

Reconstruction Loss:

$$\mathcal{L}_{re} = \mathbb{E}_{x,y} \|y - G(x)\|_2^2.$$

Projection Loss:

$$\mathcal{L}_{pl} = \frac{1}{3} [\mathbb{E}_{x,y} \|P_{ax}(y) - P_{ax}(G(x))\|_1 + \mathbb{E}_{x,y} \|P_{co}(y) - P_{co}(G(x))\|_1 + \mathbb{E}_{x,y} \|p_{sa}(y) - p_{sa}(G(x))\|_1],$$



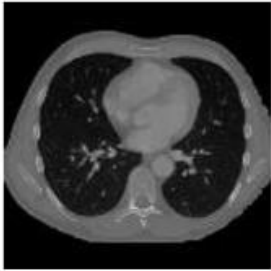

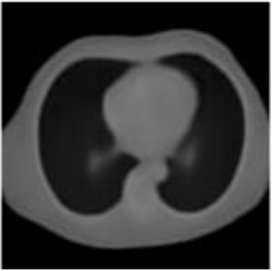
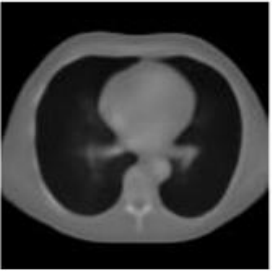
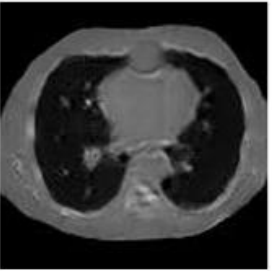
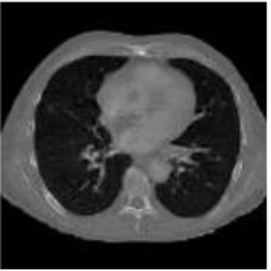












(a) Connection-A

(b) Connection-B

(c) Connection-C



# Result

GT	2DCNN	X2CT-CNN+S	X2CT-CNN+B	X2CT-GAN+S	X2CT-GAN+B
					
					
					

# low-dose CT $\rightarrow$ normal-dose CT

1. 降低辐射剂量最常用的方法是减小工作电流和缩短X射线管曝光时间。X通量越弱，CT图像中会出现噪声和伪影，影像诊断性能。

2. LDCT  $\rightarrow$  NDCR重建问题可表述为

$$\mathbf{X} = \sigma(\mathbf{Y})$$

$$\sigma: \mathbf{R}^{m \times n} \rightarrow \mathbf{R}^{m \times n}$$

$$\arg \min_f \|f(\mathbf{X}) - \mathbf{Y}\|_2^2$$

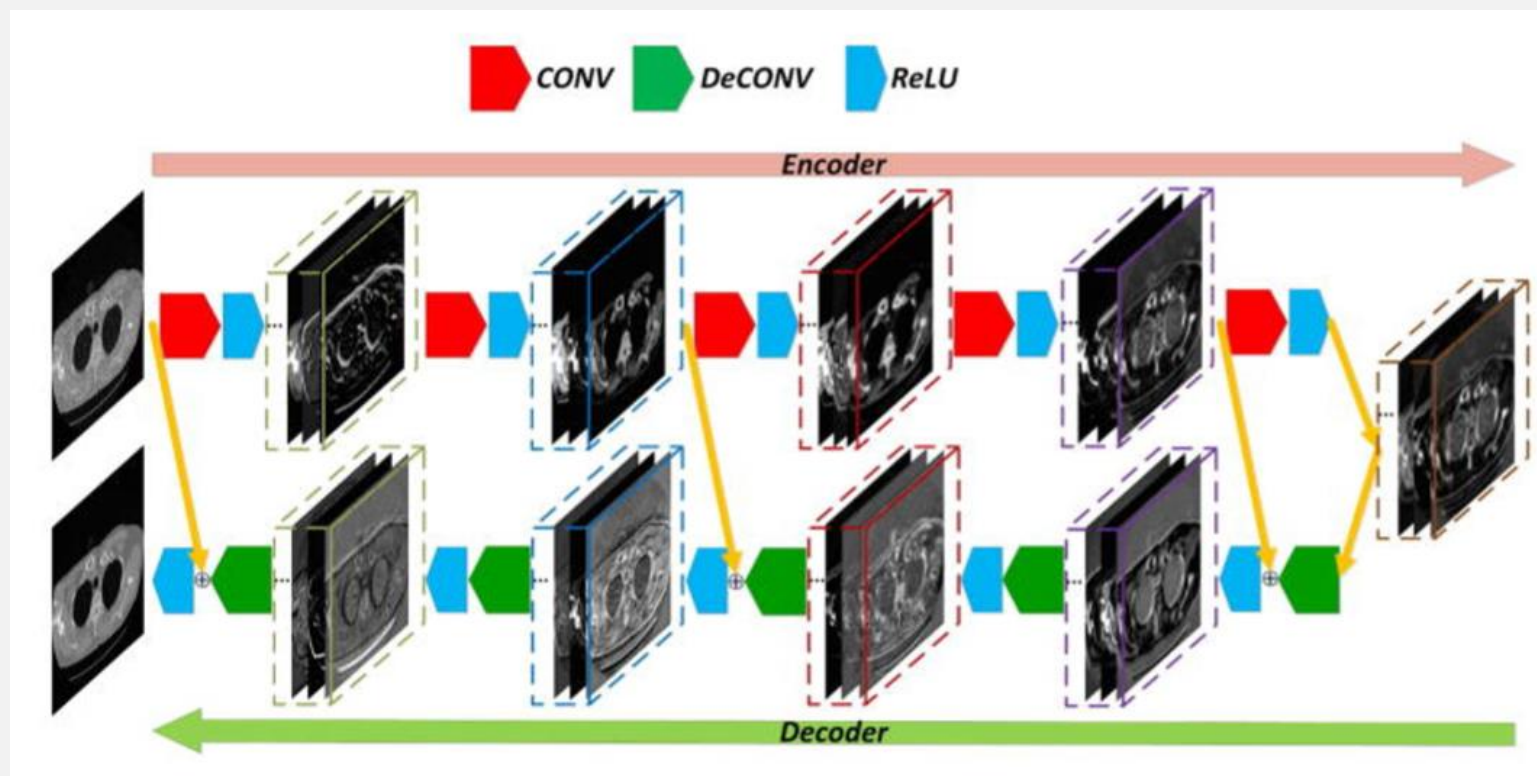
所求得的最优解实际上是 $\delta^{-1}$ 的最优解。

3. 理论依据：尽管CT影像是高维数据，但它实际上保持在一个非常低维的流形上，因此能够在这样的流形上用少量的数据点进行有意义的重建工作。

# Low-Dose CT with a Residual Encoder-Decoder Convolutional Neural Network (RED-CNN)

[Hu Chen](#), [Yi Zhang](#), Member, IEEE, [Mannudeep K. Kalra](#), [Feng Lin](#), [Yang Chen](#), [Peixo Liao](#), [Jiliu Zhou](#), Senior Member, IEEE, and [Ge Wang](#), Fellow, IEEE

1. encoder (去掉噪声和伪影)-decoder (恢复结构细节)。Patch-based
2. 去掉了pooling层：避免漏掉图像细节。

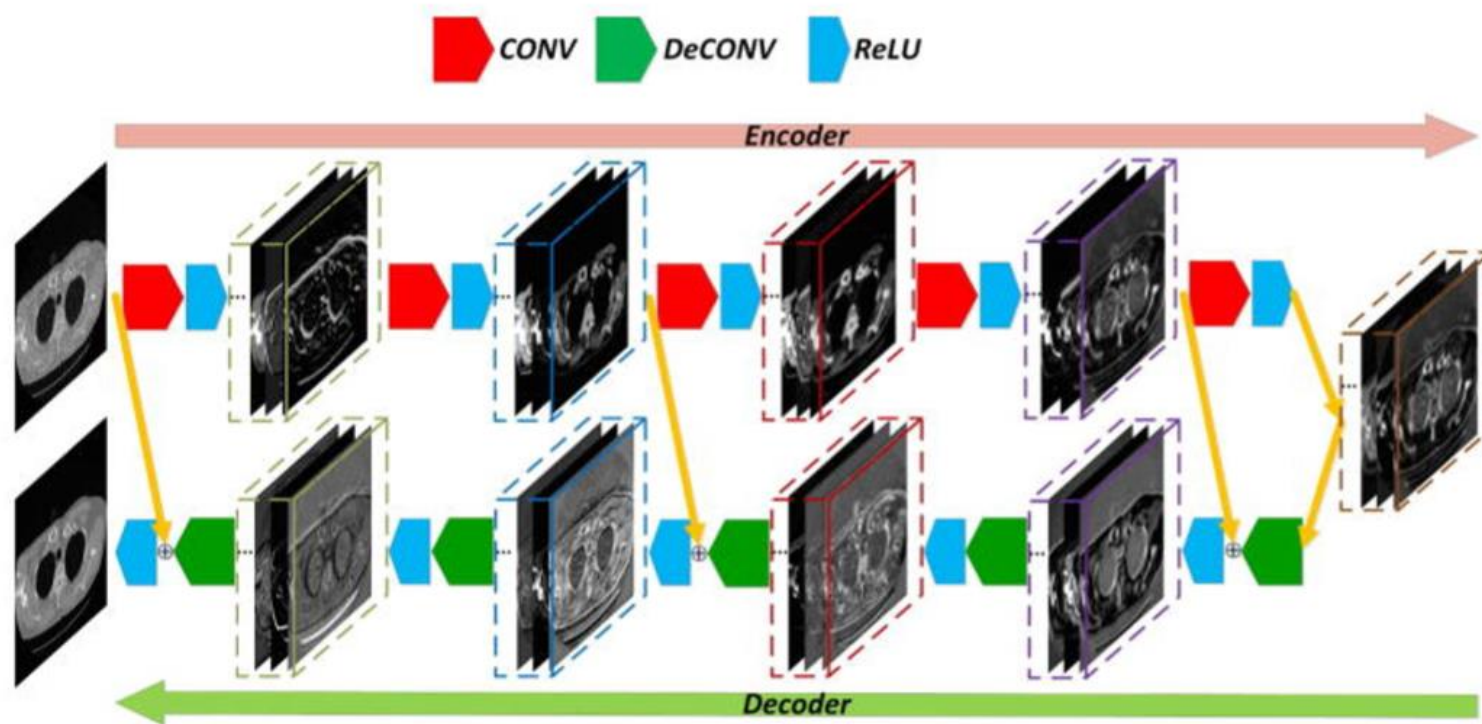


# Low-Dose CT with a Residual Encoder-Decoder Convolutional Neural Network (RED-CNN)

[Hu Chen](#), [Yi Zhang](#), Member, IEEE, [Mannudeep K. Kalra](#), [Feng Lin](#), [Yang Chen](#), [Peixo Liao](#), [Jiliu Zhou](#), Senior Member, IEEE, and [Ge Wang](#), Fellow, IEEE

3. Residual结构。去除了残差求和前的ReLU层，以去掉学习到残差为正的约束。跳接结构补偿了卷积层漏掉的图像细节。

4. 
$$F(D; \Theta) = \frac{1}{N} \sum_{i=1}^N \| \mathbf{X}_i - M(\mathbf{Y}_i) \|^2.$$



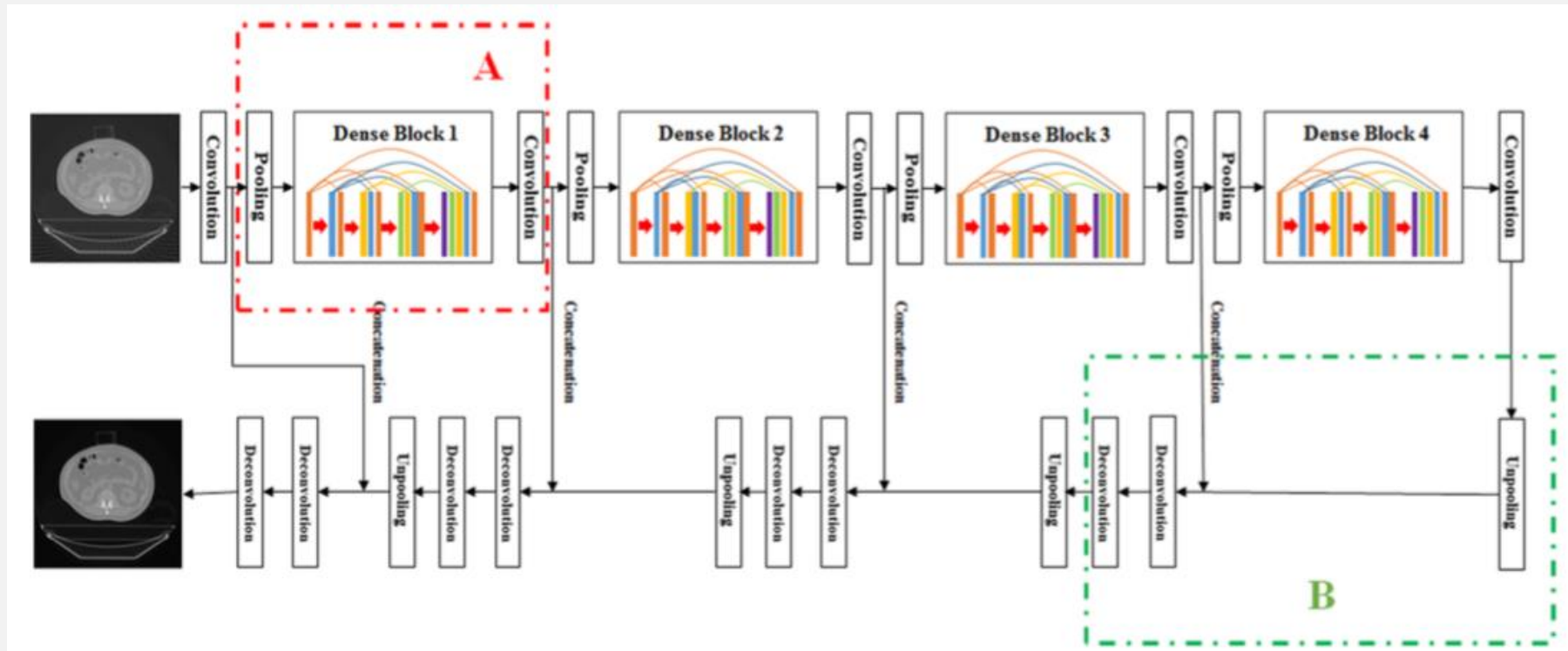
# A Sparse-View CT Reconstruction Method Based on Combination of DenseNet and Deconvolution

Article in IEEE Transactions on Medical Imaging · April 2018

DOI: 10.1109/TMI.2018.2823338

Dense Net + Deconvolution

2种连接：1. dense block中的连接 2. 跳接结构



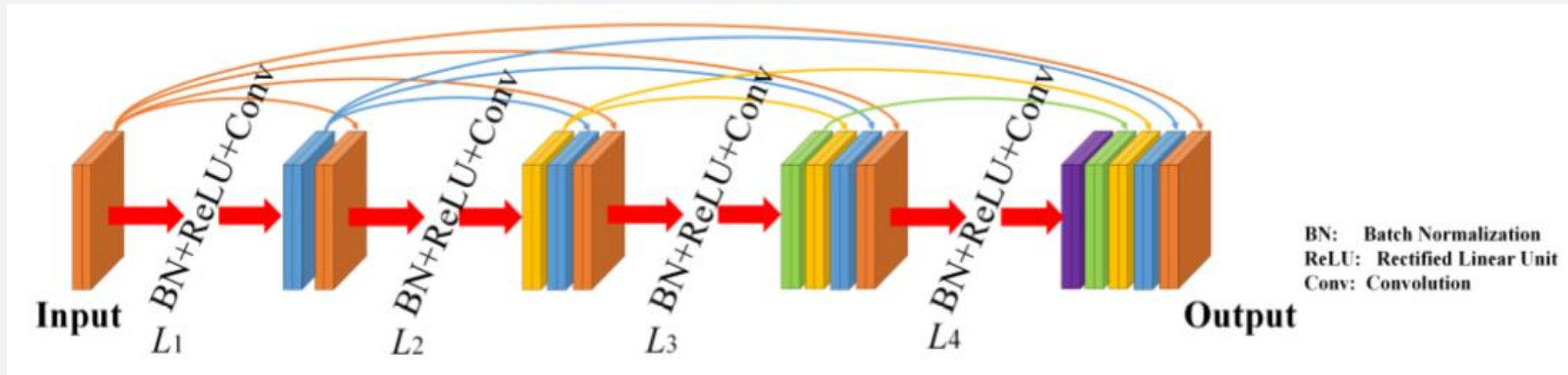


# A Sparse-View CT Reconstruction Method Based on Combination of DenseNet and Deconvolution

Article in IEEE Transactions on Medical Imaging · April 2018

DOI: 10.1109/TMI.2018.2823338

## Denseblock



L2 loss会导致边缘模糊、损失细节

$$\mathcal{L} = \|Y - f(X)\|_2^2 + \alpha \mathcal{L}_{MS-SSIM}(Y, f(X))$$

给定两个图像  $x$  和  $y$ , 两张图像的结构相似性可按照以下方式求出 [1] :

$$SSIM(x, y) = \frac{(2\mu_x\mu_y + c_1)(2\sigma_{xy} + c_2)}{(\mu_x^2 + \mu_y^2 + c_1)(\sigma_x^2 + \sigma_y^2 + c_2)}$$

其中  $\mu_x$  是  $x$  的平均值,  $\mu_y$  是  $y$  的平均值,  $\sigma_x^2$  是  $x$  的方差,  $\sigma_y^2$  是  $y$  的方差,  $\sigma_{xy}$  是  $x$  和  $y$  的协方差.  $c_1 = (k_1L)^2$ ,  $c_2 = (k_2L)^2$  是用来维持稳定的常数.  $L$  是像素值的动态范围.  $k_1 = 0.01, k_2 = 0.03$ .

# A Sparse-View CT Reconstruction Method Based on Combination of DenseNet and Deconvolution

Article in IEEE Transactions on Medical Imaging · April 2018

DOI: 10.1109/TMI.2018.2823338

## 数据预处理：FBP滤波

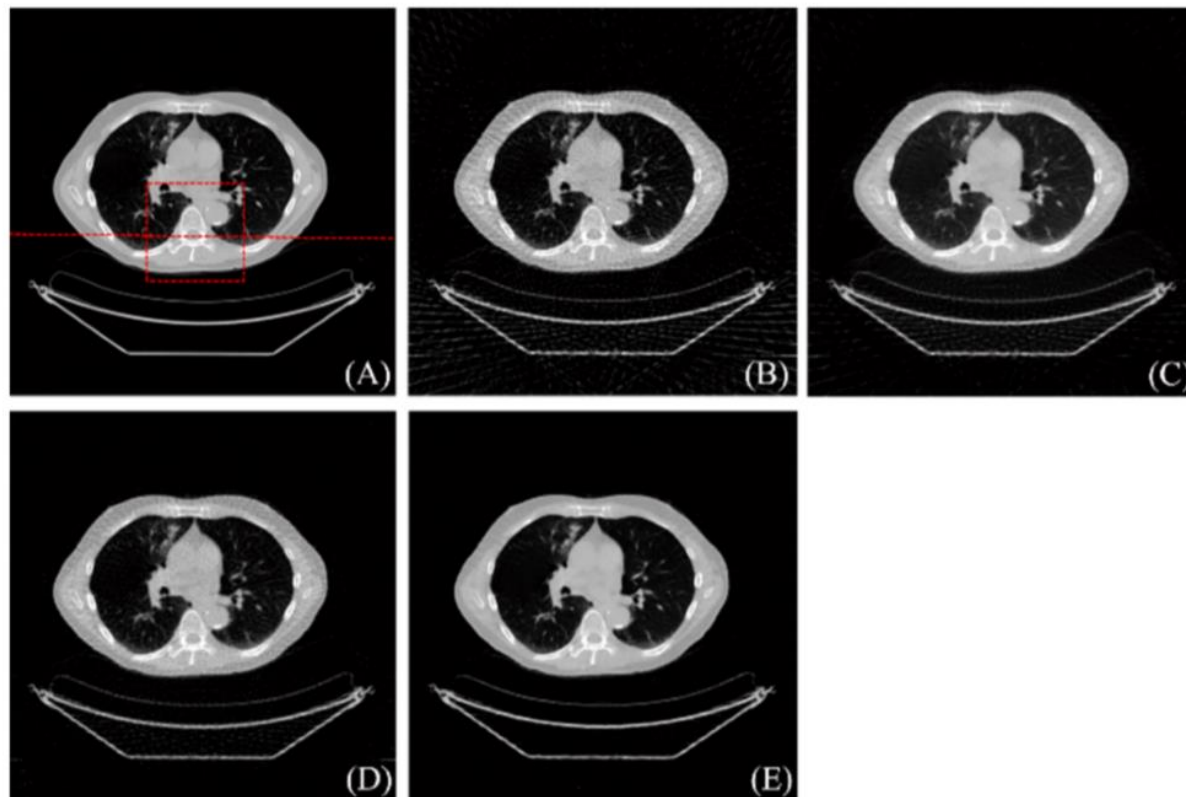


Figure 5. Reconstruction results from the chest CT dataset. (A) Original (B) FBP, (C) PWLS-TGV, (D) R-NLTV, (E) DD-Net. Display window was at  $[0, 0.029] \text{ mm}^{-1}$ .



i-VisionGroup@Tsinghua

谢谢大家!